

Sistemi Intelligenti Supervised learning

Alberto Borghese
Università degli Studi di Milano
Laboratorio di Sistemi Intelligenti Applicati (AIS-Lab)
Dipartimento di Informatica
Alberto.borghese@unimi.it



A.A. 2016-2017

1/54

<http://borgheze.di.unimi.it/>



Riassunto



- Regressione multi-scala
- Scelta del modello
- Classificazione

A.A. 2016-2017

2/54

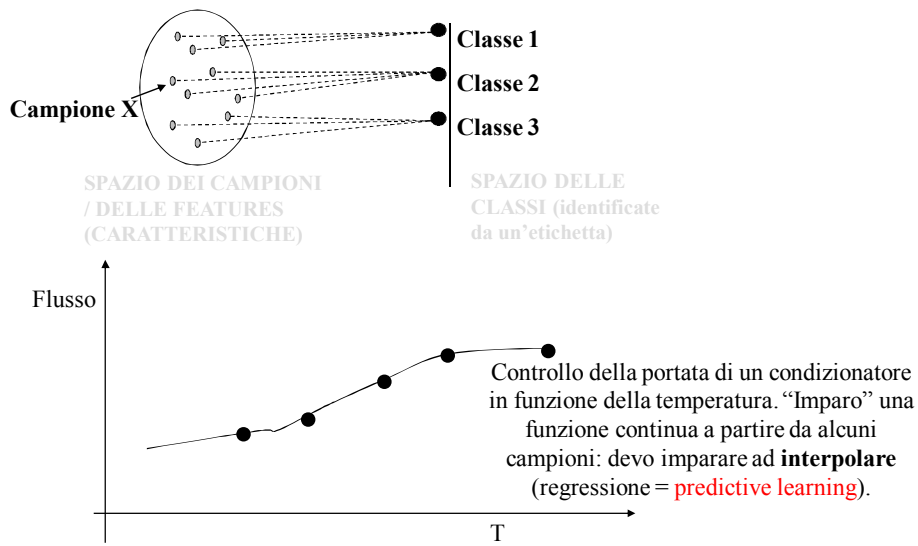
<http://borgheze.di.unimi.it/>



Classificazione e regressione



Mappatura dello spazio dei campioni nello spazio delle classi.



A.A. 2016-2017

3/54

<http://borgheze.di.unimi.it/>



Ruolo dei modelli



- **Identificazione:** stimo i parametri di un modello a partire dai dati: identifico il modello.
- **Utilizzo:** utilizzo il modello per inferire informazioni su nuovi dati (controllo, regressione predittiva, classificazione).

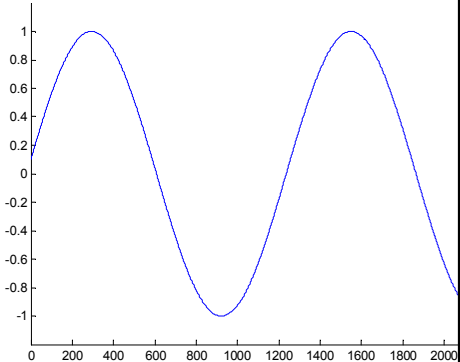
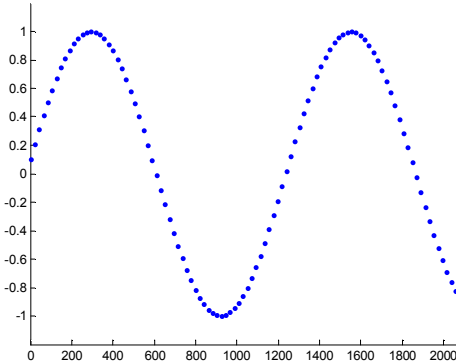
A.A. 2016-2017

4/54

<http://borgheze.di.unimi.it/>



Modello parametrico



I punti vengono fissati perfettamente da una sinusode: $y = A \sin(\omega x + \phi)$. Devo determinare solo i 3 parametri della sinusode (non lineare), i cui valori ottimali sono: $\omega = 1/200$, $\phi = 0.1$, $A = 1$. I parametri hanno un significato semantico.



I modelli semi-parametrici



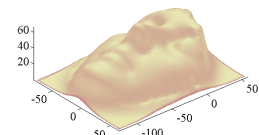
- L'approssimazione è ottenuta mediante funzioni "generiche", dette di **base**, soluzione molto utilizzata nelle NN e in Machine learning. E' anche associato all' approccio «black-box» in cibernetica. Non si hanno informazioni sulla struttura dell' oggetto che vogliamo rappresentare.
- (Il concetto di Base in matematica è definito mediante certe proprietà di approssimazione che qui non consideriamo, consideriamo solo l'idea intuitiva). Il concetto di base è simile a quello dei "replicating kernels".
- E' anche l'idea che sta alla base delle Reti Neurali Artificiali

$$z(p(x, y)) = \sum_i w_i G(p, p_i; \sigma)$$

Combinazione
lineare di funzioni
di base

Da calcolare

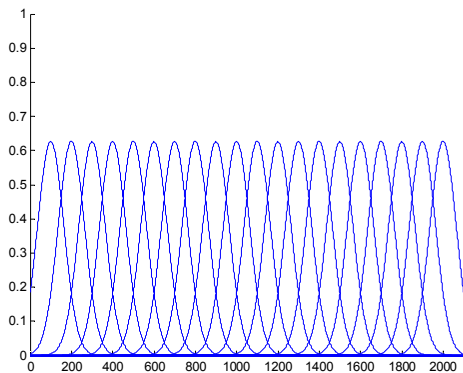
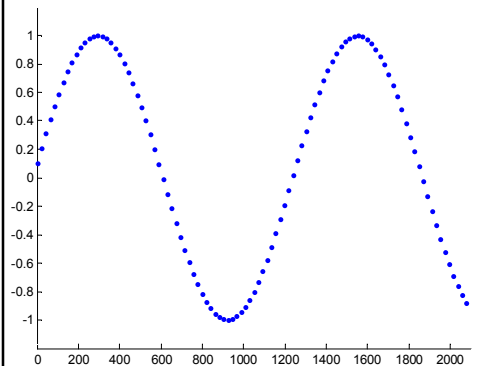
Approximation at layer #4



Funzione di base (fissate)



Approssimazione mediante un modello semi-parametrico (lineare)



Sinusode $y = A \sin(\omega x + \phi)$ con $\omega = 1/200$, $\phi = 0.1$.

Vogliamo fissare i punti con l'insieme di Gaussiane riportate sulla dx. In questo caso hanno tutte $\sigma = 90$. Come le utilizzo?

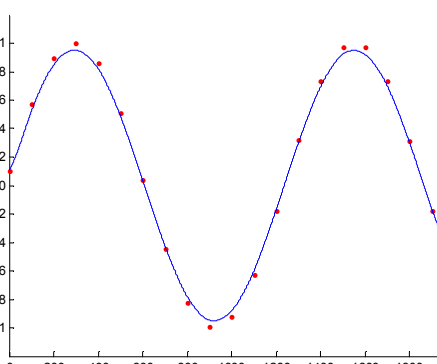
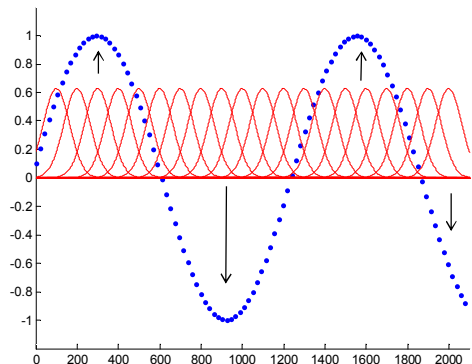
A.A. 2016-2017

7/54

<http://borgheze.di.unimi.it/>



Funzionamento di un modello semi-parametrico (lineare)



$$y(x) = \sum_{i=1}^{20} w_i G(x - x_{o_i}; 90^\circ)$$

Devo definire, gli $M \{w_i\}$.
 $3 << M << N$ – numero punti.

I σ sono tutti uguali ed uguali a 90° , le Gaussiane sono equispaziate.
Le Gaussiane sono note a priori, devono essere definiti i pesi.

A.A. 2016-2017

8/54

<http://borgheze.di.unimi.it/>



Modelli lineari e non lineari



Classificazione alternativa dei modelli. Vengono utilizzate classi molto diversi di algoritmi per stimare i parametri di questi due tipi di modelli.

$$z(p(x, y)) = f(x) = \sum_i w_i x \quad z(p(x, y)) = \sum_i f_i(p; w)$$

$f(\cdot)$ è funzione lineare nei $\{w_i\}$ $f(\cdot)$ è funzione non lineare

e.g. $f(\cdot) = e^{wx}$
 $f(\cdot) = x \ln(wx)$
....



Surface reconstruction with filtering



- Convolution: $\hat{f}(x) = \int_{\mathbb{R}} f(c) G(x - c | \sigma) dc = f(x) * G(x; \sigma)$

we can reconstruct signals up to a certain scale, provided an adequate small value of σ .

- Discrete convolution: $\hat{f}(x) = f_i * G(x - x_{k_i}; \sigma) = \sum_{i=1}^N w_i G(x - x_{k_i}; \sigma)$

The reconstruction of the function, if $G(\cdot)$ is normalized, is obtained through digital filtering.

Extrapolation beyond the sample points. Reconstruction up to a given scale.



Filters and bases



$$\hat{f}(x) = \sum_k f_k * G(x - x_k; s)$$
$$\hat{f}(x) = \sum_{k=1}^N f_k G(x; x_k, \sigma) \Delta x = \frac{\Delta x}{\sqrt{\pi} \sigma} \sum_{k=1}^N f_k e^{-\frac{(x-x_k)^2}{\sigma^2}} \quad \frac{\Delta x_k}{\sqrt{\pi} \sigma} \text{ Normalization factor}$$

Normalized Gaussians, filter = weighed sum of shifted (normalized) basis functions. Basis representation. Approximation space.

Riesz basis, the approximation space is characterized by the scale of the basis that determines the amplitude of the space.

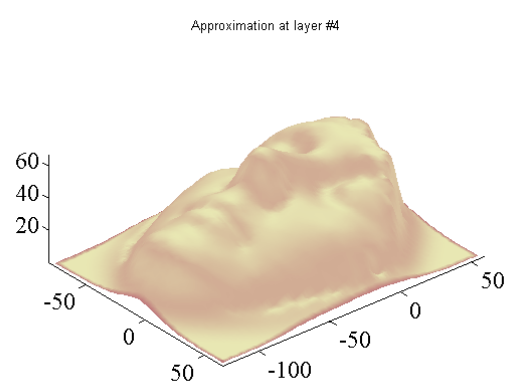
A sequence of spaces can be defined according to σ :

$\sigma_0 \rightarrow V_0; \sigma_1 \rightarrow V_1; \sigma_2 \rightarrow V_2; \dots$

The number of representable functions increases.



Problema dell'overfitting dovuto a sovraparametrizzazione



Quante unità?



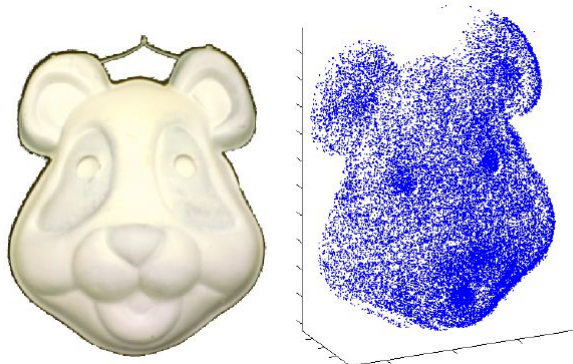
Advantages and problems



$$\hat{f}(x) = \sum_{k=1}^N f_k G(x; x_k, \sigma) \Delta x = \frac{\Delta x}{\sqrt{\pi} \sigma} \sum_{k=1}^N f_k e^{-\frac{(x-x_k)^2}{\sigma^2}}$$

Filters interpolates
and reduces noise
but...

Height in the
function on a grid
crossing should be
known.



A.A. 2016-2017

13/54

<http://borgheze.di.unimi.it/>



Gridding



$$\hat{f}(x) = \sum_{k=1}^N f_k G(x; x_k, \sigma) \Delta x = \frac{\Delta x}{\sqrt{\pi} \sigma} \sum_{k=1}^N f_k e^{-\frac{(x-x_k)^2}{\sigma^2}}$$

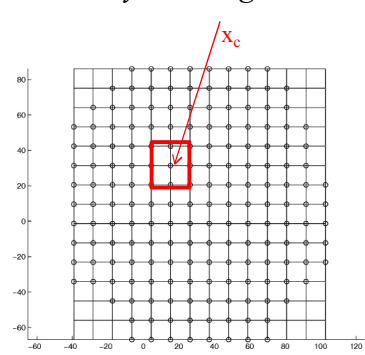
How can we determine w_k from points clouds?

Local estimators. Nadaraya Watson estimator. *Lazy learning*.

$$\hat{f}(x_c) = \frac{\sum_i y_i K_\sigma(x_i, x_c)}{\sum_i K_\sigma(x_i, x_c)} = \frac{\sum_i y_i e^{-\frac{\|x_i - x_c\|^2}{\sigma^2}}}{\sum_i e^{-\frac{\|x_i - x_c\|^2}{\sigma^2}}} \backslash$$

$K_\sigma(\cdot)$ Gaussiana

Parzen-window estimators.



A.A. 2016-2017

14/54

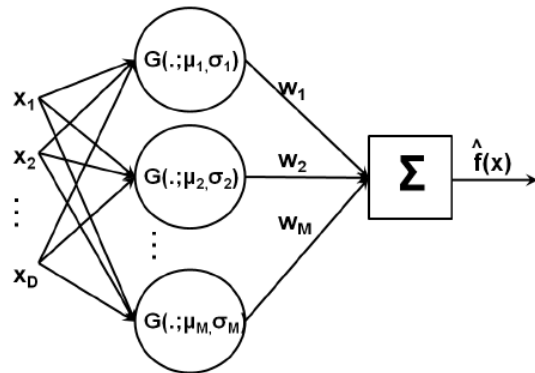
<http://borgheze.di.unimi.it/>



RBF Network



Connessionism. Simple processing units combined with simple operations to create complex functions.



Perceptron

A.A. 2016-2017

15/54

<http://borgheze.di.unimi.it/>

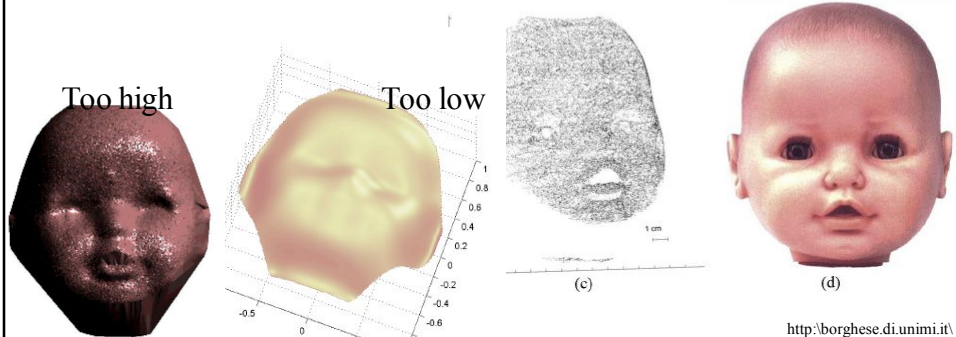
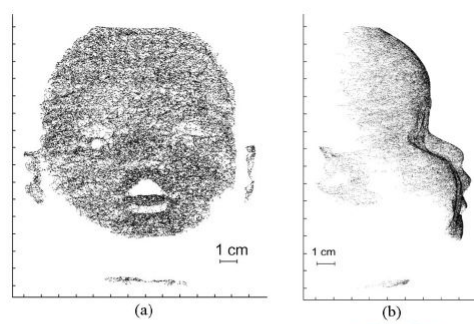


Surface Approximation



- Properties:
 - Redundancy.
 - Riesz basis (unique representation, given the height in the grid crossings).

Which scale?



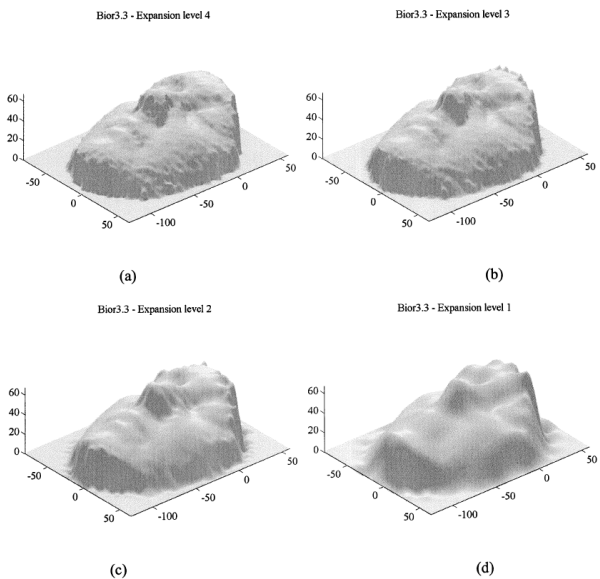
<http://borgheze.di.unimi.it/>



Pyramidal reconstruction



- Which is the adequate scale?
- Which model is the closest to the true model?



A.A. 2016-2017



Incremental strategy



- Acquire more data in the more complex areas, less smooth, higher frequency.
- Acquire less data in the less complex areas, more smooth, lower frequency.

$$\hat{f}(x) = \sum_{k=1}^N f_k G(x; x_k, \sigma) \Delta x = \frac{\Delta x}{\sqrt{\pi} \sigma} \sum_{k=1}^N f_k e^{-\frac{(x-x_k)^2}{\sigma^2}}$$

- Can we use a single Δx ?

Incremental approximation with local adaptation.

A.A. 2016-2017

18/54

<http://borgheze.di.unimi.it/>



Start from low resolution

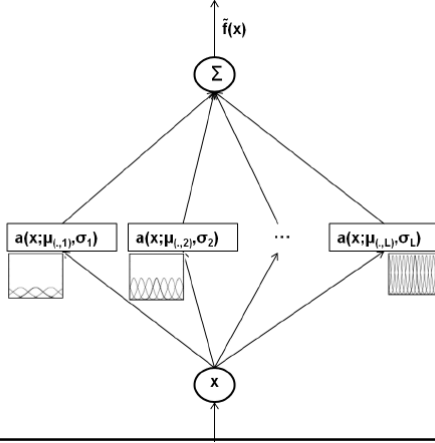


- Low resolution, small distance, $1/\Delta x > 2v_{\text{Max}}$

$$\hat{f}(x) = \sum_{k=1}^N f_k G(x; x_k, \sigma) \Delta x = \frac{\Delta x}{\sqrt{\pi} \sigma} \sum_{k=1}^N f_k e^{-\frac{(x-x_k)^2}{\sigma^2}}$$

σ determines the amount of overlap. It determines also the frequency content of the Gaussian $G(\cdot)$.

Once σ (or Δx is computed) the support is defined.



Determination of the surface height

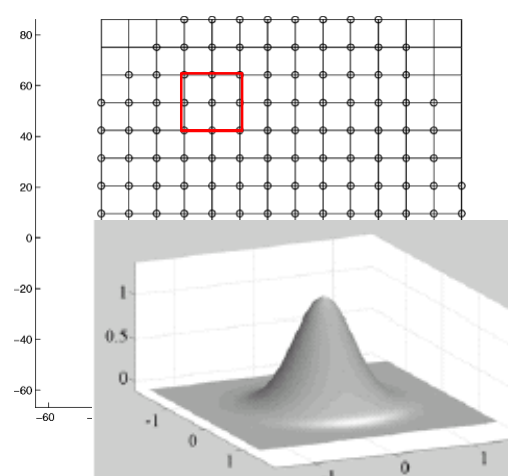


How many points to consider? The Gaussian has infinite support. Splines have a limited support.

$$\hat{f}(x) = \sum_{k=1}^N f_k G(x; x_k, \sigma) \Delta x$$

Apply local estimator to the data points in the neighbourhood of a grid crossing (Gaussian center) to compute f_k .

Sorting of the data is made simple, they are subdivided into quads. Identified the points inside the neighbourhood is equivalent to extract all the points between two positions in the data vector.





We can obtain a «poor» reconstruction



But it is a start. It can be seen as a modified support for successive approximations.



A.A. 2016-2017

21/54

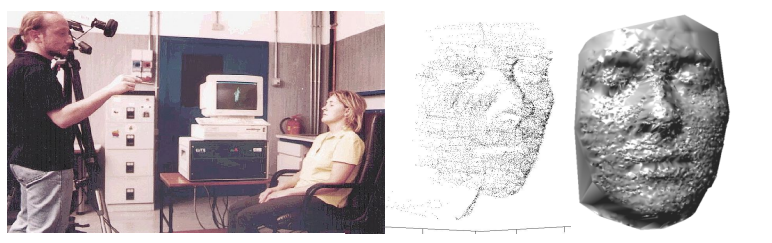
<http://borgheze.di.unimi.it/>



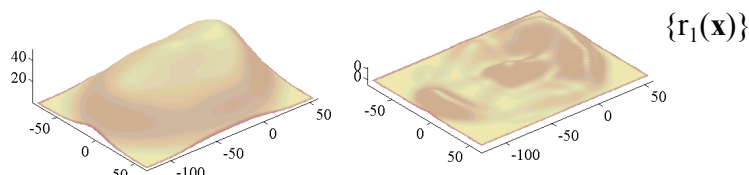
What can be done?



We can compute the residual for each data point.



Approximation at layer #1



We evaluate the residual for each data point: $r_1 = \text{dist}(y_m, \hat{f}(x_m))$

$$\text{E.g.: } r_1 = (y_m - \hat{f}(x_m))^2 \quad r_1 = |y_m - \hat{f}(x_m)|$$

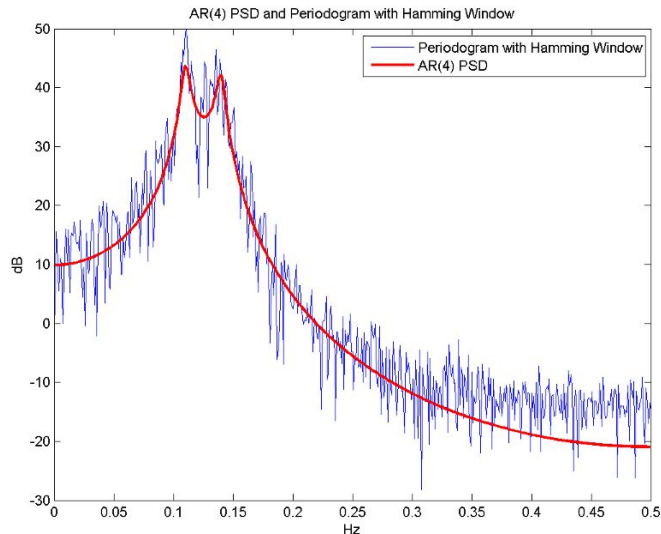
A.A. 2016-2017

22/54

<http://borgheze.di.unimi.it/>



Where does this residual come from?



We want to eliminate variability due to noise.

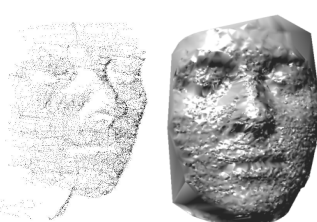
A.A. 2016-2017

23/54

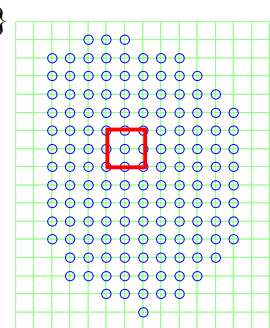
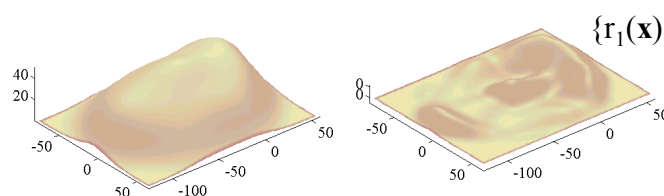
<http://borgheze.di.unimi.it>



Is the residual adequate?



Approximation at layer #1

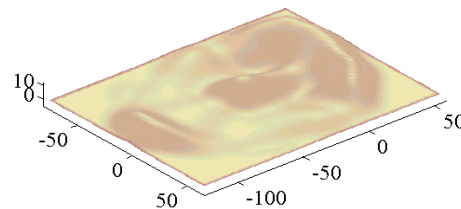


For each Gaussian the integral of the residual inside the “receptive field” of the Gaussian, is assumed as local approximation error associated to it., is computed inside its “receptive field”:

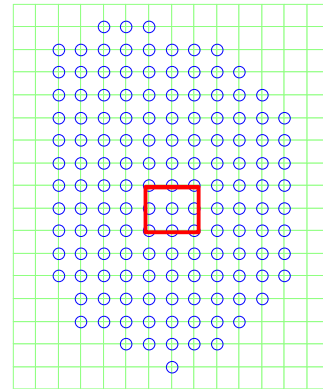
$$R(x_c) = \frac{\sum_m r_m}{N_k}$$



How can we evaluate the local adequacy of the reconstruction?



$$R(x_c) = \frac{\sum_m r_m}{N_k}$$



We compare the local residual it with a threshold:

- Degree of approximation
- Noise: RMS.



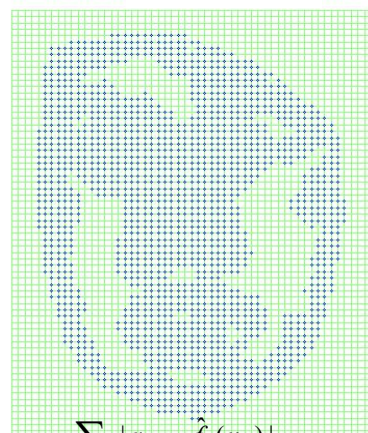
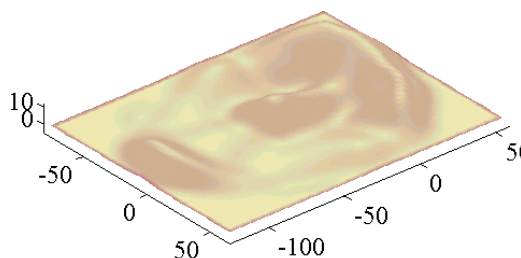
Layer 2



Input are the residuals, $r_{1,m} = |y_m - \hat{f}_1(x_m)|$
Output is the model that approximates $r_{1,m}$: $f_2(x_m) \rightarrow r_{1,m}$

Layer #2

Output of layer #2



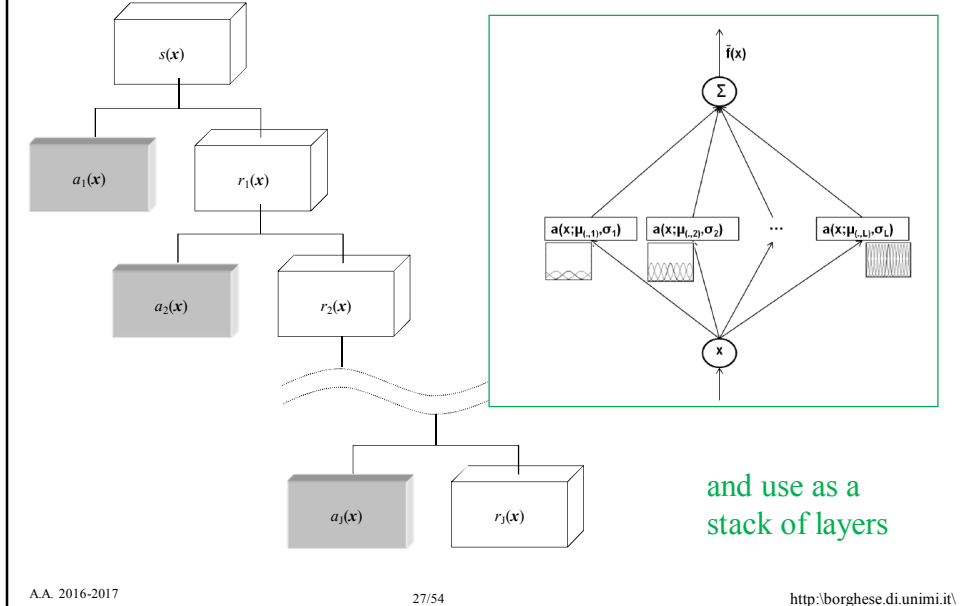
More packed Gaussians

There should be enough points to have a reliable local estimate of not filled grid.

$$R(x_c) = \frac{\sum_m |r_{1,m} - \hat{f}_2(x_m)|}{N_k}$$



Hierarchy construction



A.A. 2016-2017

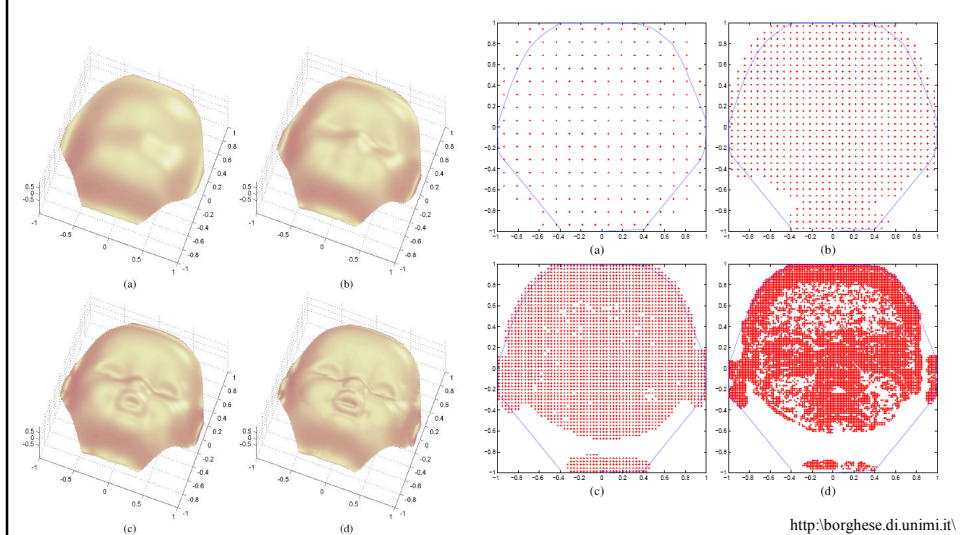
27/54

<http://borgheze.di.unimi.it/>

How to operate on large sets of data?

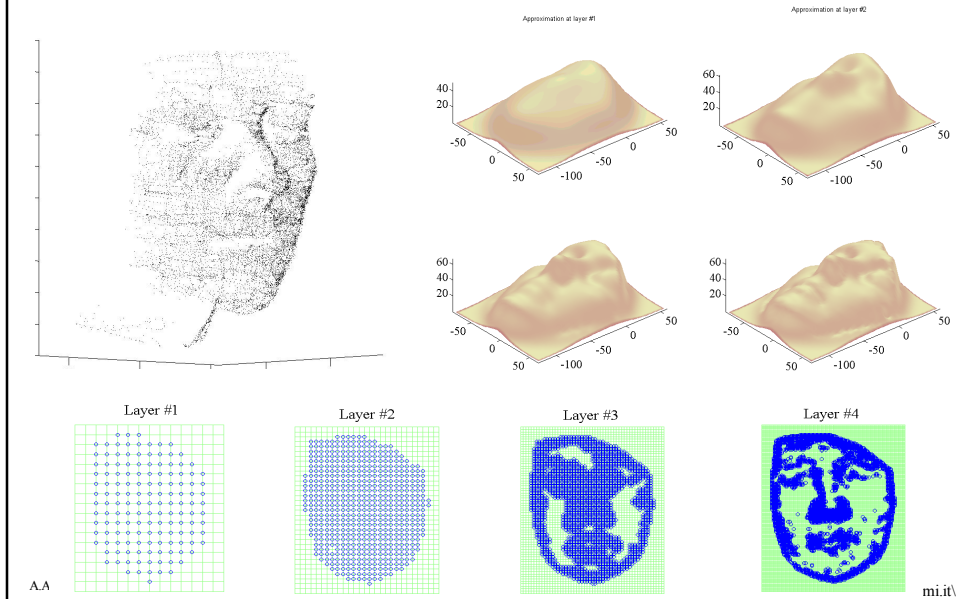


Recursive splitting of the quad domain -> local re-ordering of the data.





Applicazione della regressione

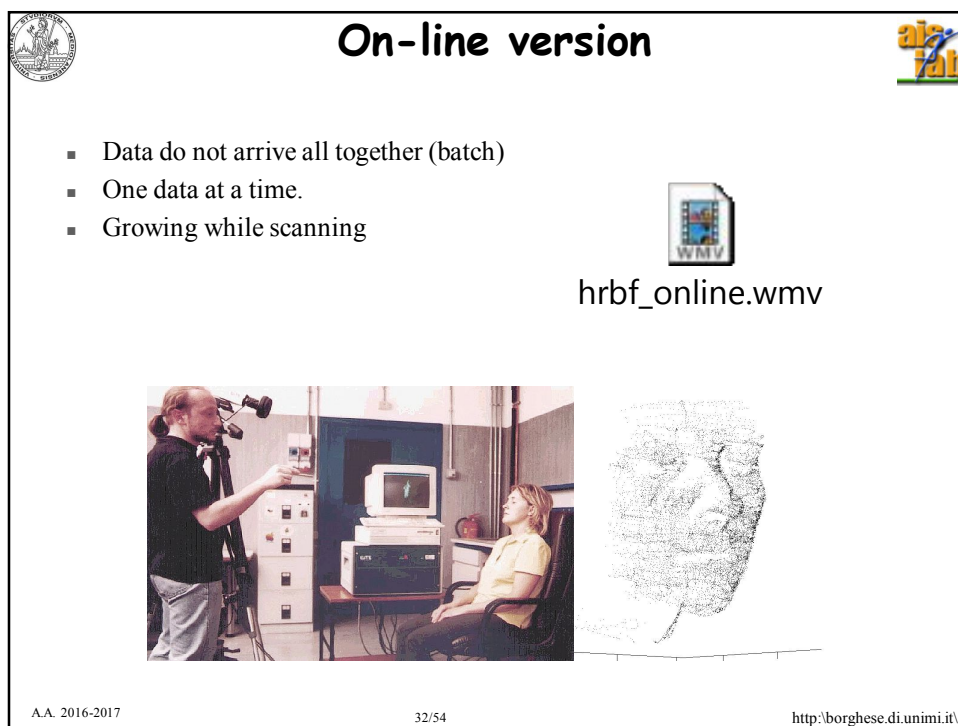
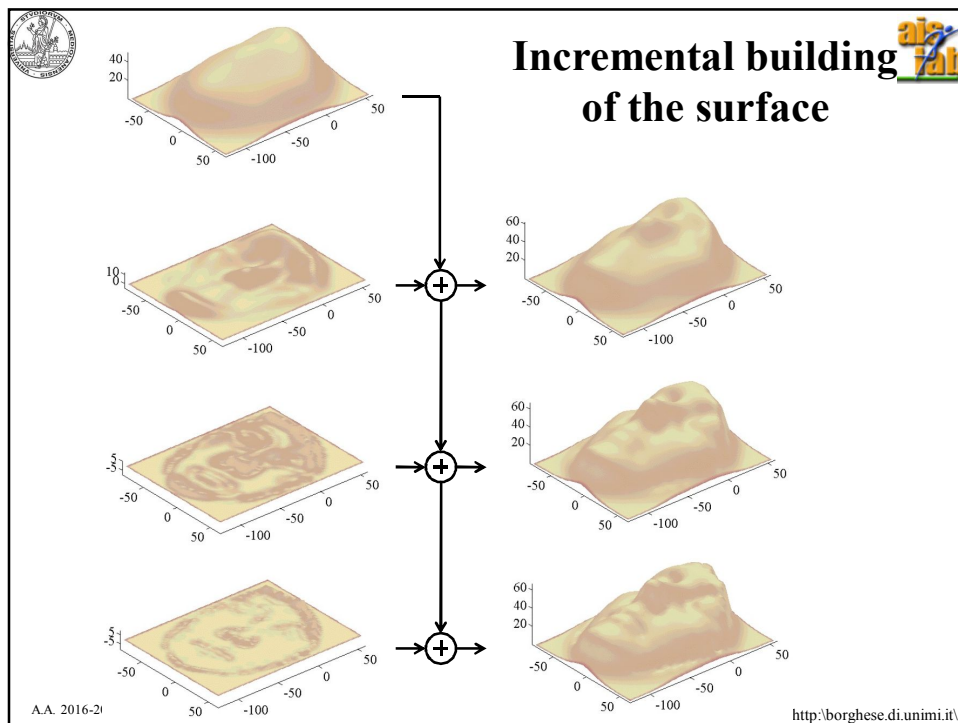


Characteristics of HRBF networks



- Not fully occupied layers
- Adaptive local scale
- Adaptive allocation of the resources
- Uniform convergence to a residual error
- Residual bias is recovered in the next layers.
- Relatively dense data sets are required to obtain a robust local estimate.
- Riesz basis, with a high degree of redundancy between the coefficients. The angle between two approximating spaces is not 90°, but it is considerably smaller

$$\cos \alpha_j = \sup_{f(\cdot) \in V_j, h(\cdot) \in V_{j+1}} \frac{\langle f(\cdot), h(\cdot) \rangle}{\|f(\cdot)\|_2 \|h(\cdot)\|_2} = \cos \alpha_{j-1}.$$





Observation



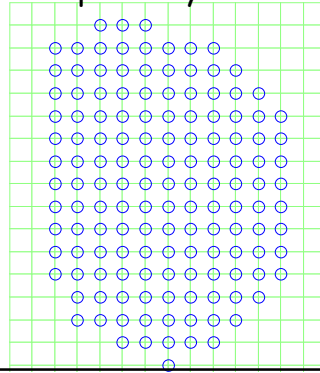
- Each new point, $y=f(x_k)$, modifies at least f_l around x_k .
- This in turns can modify 4 values in the next layer and so forth.

Recomputation can be simplified:

Numerator and denominator are stored separately.

$$\hat{f}(x) = \frac{\sum_i y_i K_\sigma(x_i, x)}{\sum_i K_\sigma(x_i, x)} = \frac{\sum_i y_i e^{\frac{-\|x_i - x\|^2}{\sigma^2}}}{\sum_i e^{\frac{-\|x_i - x\|^2}{\sigma^2}}}$$

For each new point a new term is added and the ratio is recomputed.



A.A. 2016-2017

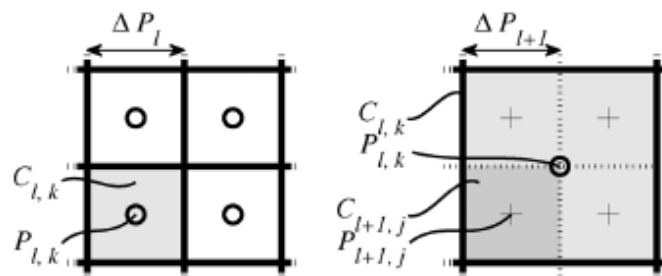
33/54



Local operations



- Local splitting of each quad is achieved when:
 - ◆ Residual is higher than threshold
 - ◆ Enough points have been sampled



A.A. 2016-2017

34/54

<http://borgheze.di.unimi.it/>



Comparison with Wavelets



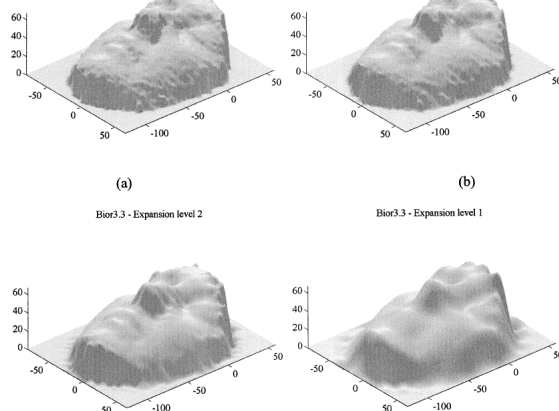
- Fast incorporation of the content (high angles between approximating spaces \rightarrow 90 degrees)
- No control on the residual.

Bior3.3 - Expansion level 4

Bior3.3 - Expansion level 3

Bior3.3 - Expansion level 2

Bior3.3 - Expansion level 1

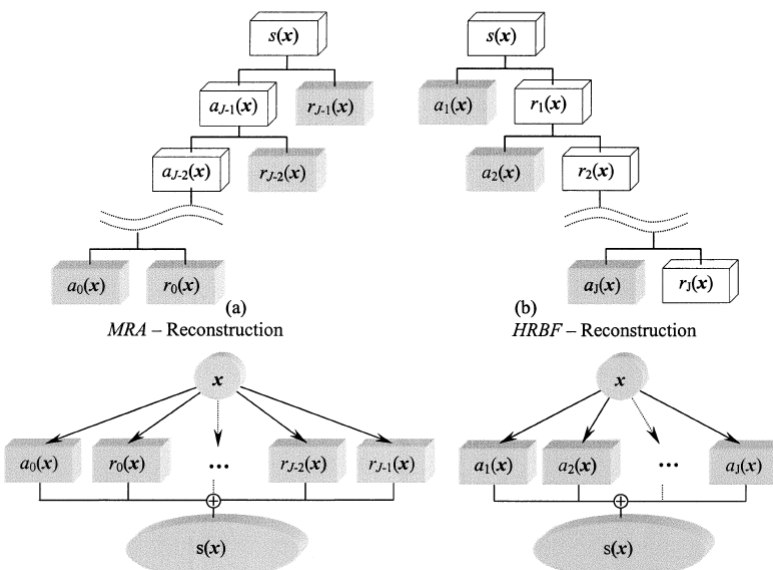


A.A. 2016-2017



MRA – Coefficients determination

HRBF – Parameters determination



A.A. 2016-2017

36/54

<http://borgheze.di.unimi.it/>



Beyond Wavelet



Portilla et al., Image Denoising Using Scale Mixtures of Gaussians in the Wavelet Domain, 2003.

Coefficients reduction through a model of the noise.

RBF and Wavelet have excellent for CUDA implementation as all bases with limited support.



Riassunto



- Regressione multi-scala
- **Scelta del modello**
- Classificazione



How to classify the error introduced by a model?



Is the model good enough?

Does it have enough parameters?

Does it cover the input domain (in all dimensions)?

This is not enough to obtain a good model!!

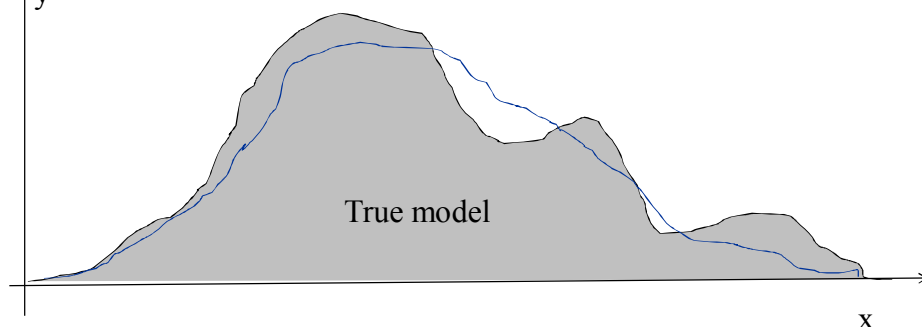
The model should be properly tuned to the data



How to classify the error introduced by a model?



↑ y How is the estimated model related to the true model?



Bias and variability trade-off

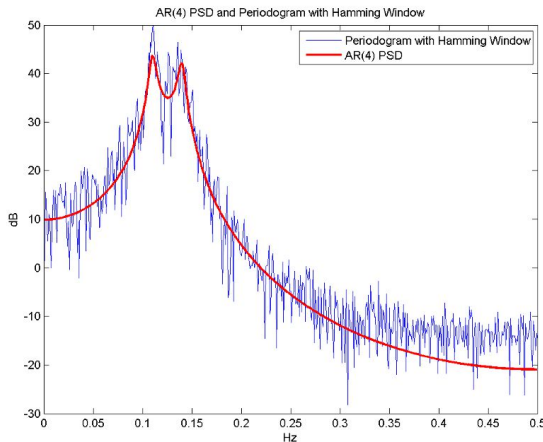
Bias is the distance of the model curve from the true unknown curve.
It is associated to model error.



Variability



How are the measured points related to the estimated model?



Given $P_{\text{mes}}(x_{\text{mes}}, y_{\text{mes}})$ and $y = f(x)$, the error is measured as: $\text{dist}(y_{\text{mes}}, f(x_{\text{mes}}))$, for instance Euclidean distance. It is associated to measurement error.

If variability goes to zero, bias increases and overfitting arises.
In a good model, variability tends to the statistics of the measurement noise.



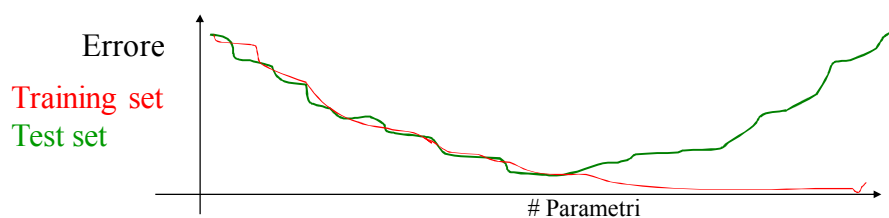
Scelta empirica - cross-validation



Cross-Validation - Errore sull'insieme di training = Errore sull'insieme di test.

Si vuole evitare che il modello si specializzi troppo sui pattern di training e non sia in grado di interpolare correttamente.

Il numero di parametri viene aumentato fino a quando entrambi gli errori diminuiscono.



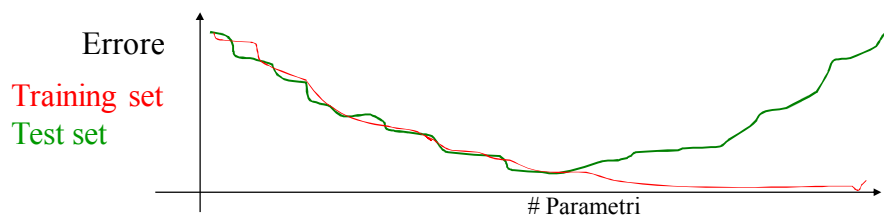


Scelta teorica



Quale funzione costo minimizzo? Come posso inserire l'informazione di complessità nella funzione costo?

Penalizzo i modelli con tanti parametri. Regularization with Reproducible Hilbert Kernels as regularizers



A.A. 2016-2017

43/54

<http://borgheze.di.unimi.it/>



Altri approcci



Semi-convergenza: non porto l'algoritmo fino alla convergenza nel punto di ottimo ma arresto le iterazioni prima.

Il modello non sarà perfettamente aderente ai dati, ma il residuo sarà tendenzialmente l'errore di misura.

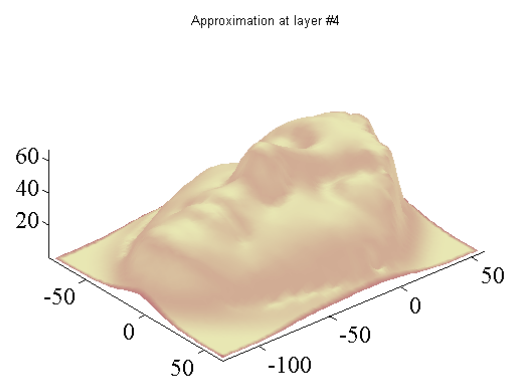
A.A. 2016-2017

44/54

<http://borgheze.di.unimi.it/>



Problema dell'overfitting dovuto a sovraparametrizzazione



Quante unità?

A.A. 2016-2017

45/54

<http://borgheze.di.unimi.it/>



Riassunto



- Supervised learning
- Regressione multi-scala
- Classificazione

A.A. 2016-2017

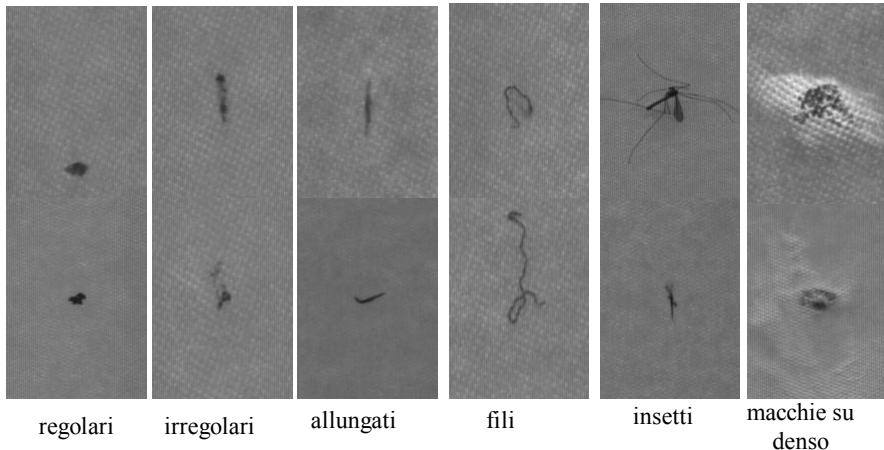
46/54

<http://borgheze.di.unimi.it/>



CLASSIFICAZIONE: Riconoscimento difetti in linee di produzione

(progetto finanziato da Electronic Systems: 2006-2007)



Difetti – Classificazione real-time e apprendimento mediante **boosting**.
Committee (linear combination) of weak (binary) classifiers.

A.A. 2016-2017

47/54

<http://baoshaaa.diyunmai.net>



b
b
b → B

Apprendimento Supervisionato: **Classificazione**

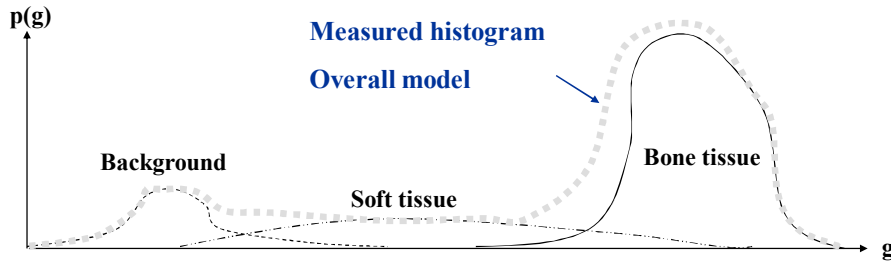
Task di classificazione
Uscita intera (etichetta o
label della classe)

A.A. 2016-2017

Journal of Health Politics, Policy and Law



I modelli parametrici



La probabilità di avere un livello di grigio g è la somma pesata delle tre probabilità di avere background, $p_1(g)$, tessuto molle, $p_2(g)$ o tessuto osseo, $p_3(g)$.

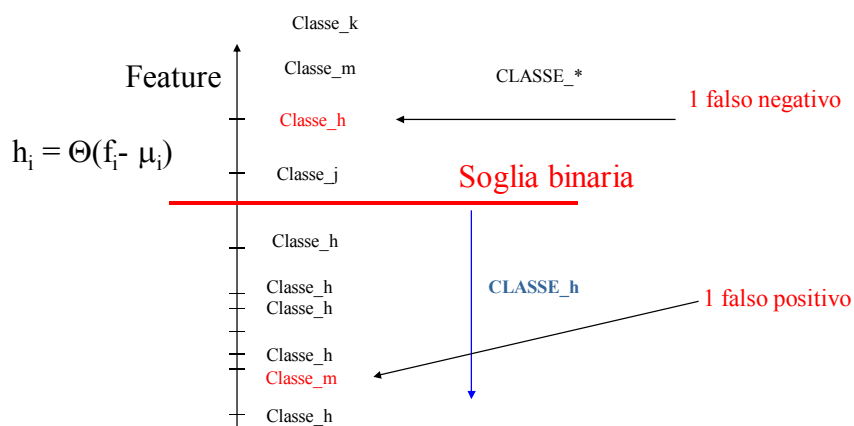


Classificatore binario



Classificatore binario. Si seleziona una feature e si sceglie la soglia ottimale.

Un classificatore binario è costituito da: feature, soglia, verso.

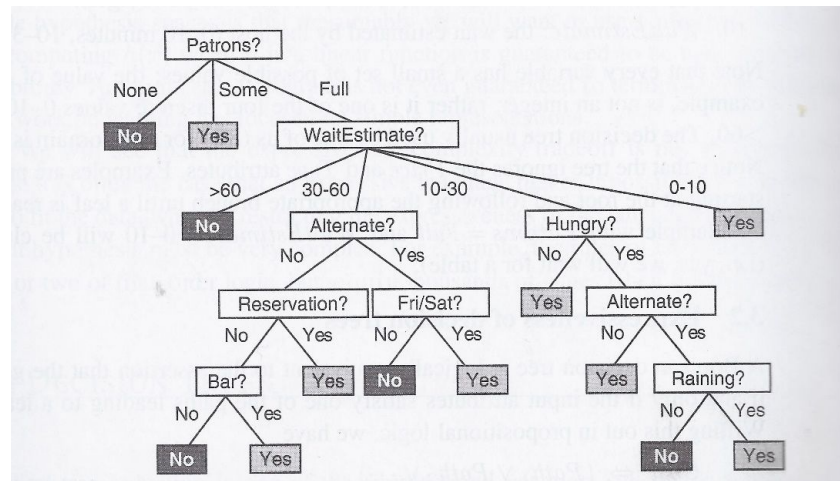




Gli approcci



Approccio incrementale mediante boosting
Approccio incrementale mediante alberi di decisione



A.A. 2016-2017

51/54

<http://borgheze.di.unimi.it/>

I dati misurati sul campo



Examp	Input attributes											Goal (wait)
	Alt	Bar	Fri	Hun	Pat	Price	Rain	Res	Type	Est	Goal (wait)	
x ₁	Yes	No	No	Yes	Some	\$\$\$	No	Yes	Fr	0-10	y ₁ = Y	
x ₂	Yes	No	No	Yes	Full	\$	No	No	Thai	30-60	y ₂ = N	
x ₃	No	Yes	No	No	Some	\$	No	No	Burg	0-10	y ₃ = Y	
x ₄	Yes	No	Yes	Yes	Full	\$	Yes	No	Thai	10-30	y ₄ = Y	
x ₅	Yes	No	Yes	No	Full	\$\$\$	No	Yes	Fr	>60	y ₅ = N	
x ₆	No	Yes	No	Yes	Some	\$\$	Yes	Yes	I	0-10	y ₆ = Y	
x ₇	No	Yes	No	No	None	\$	Yes	No	Burg	0-10	y ₇ = N	
x ₈	No	No	No	Yes	Some	\$\$	Yes	Yes	Thai	0-10	y ₈ = Y	
x ₉	No	Yes	Yes	No	Full	\$	Yes	No	Burg	>60	y ₉ = N	
x ₁₀	Yes	Yes	Yes	Yes	Full	\$\$\$	No	Yes	I	10-30	y ₁₀ = N	
x ₁₁	No	No	No	No	None	\$	No	No	Thai	0-10	y ₁₁ = N	
x ₁₂	Yes	Yes	Yes	Yes	Full	\$	No	No	Burg	30-60	y ₁₂ = Y	

A.A. 2016-2017

52/54

<http://borgheze.di.unimi.it/>



Scelta caratteristiche



Caratteristica più saliente

A.A. 2016-2017

53/54

<http://borgheze.di.unimi.it/>



ADA(ptive) Boosting



Spesso non ci sono singole feature che consentono la classificazione corretta.
Abbiamo feature “deboli”.

Il boosting consiste in un metodo incrementale che produce un classificatore composto da più classificatori elementari, binari, $h(I, threshold, sign, feature)$, in grado di minimizzare l’errore sul training set.

Combina più classificatori “deboli” in un classificatore performante.

Il risultato del booster è dato dal voto di maggioranza dei risultati pesati ottenuti da classificatori binari elementari che sono stati selezionati durante l’esecuzione del boosting.

$$H = sign \left(\sum_t \alpha_t h_t (Image; threshold, sign, feature) \right)$$

A.A. 2016-2017

54/54

<http://borgheze.di.unimi.it/>



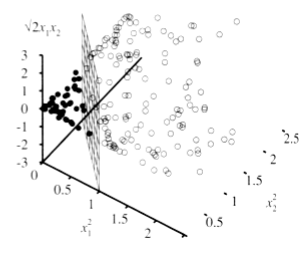
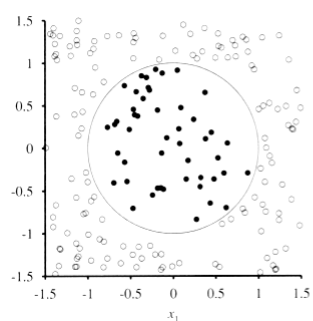
Support Vector Machines



Partizionamento dello spazio mediante una retta (V. Vapnik, 1998).

Minimizzano l'errore di (mis)classificazione e, tra tutti i classificatori che minimizzano questo errore, scelgono quello che **massimizza il margine**.

Applicazione di una trasformazione non lineare (mediante funzioni Kernel) che mappa lo spazio di input in uno spazio a più dimensioni in cui i dati risultano linearmente separabili



Mapping is defined by:
 $f_1 = x_1^2$ $f_2 = x_2^2$
 $f_3 = \sqrt{2}x_1x_2$
 Russel Norvig, 2nd edition

A.A. 2016-2017

55/54

<http://borgheze.di.unimi.it/>



Support vector machines (geometrical view)



$w \cdot x = b$ is the plane

$$\frac{b}{\|w\|}$$
 distance from O

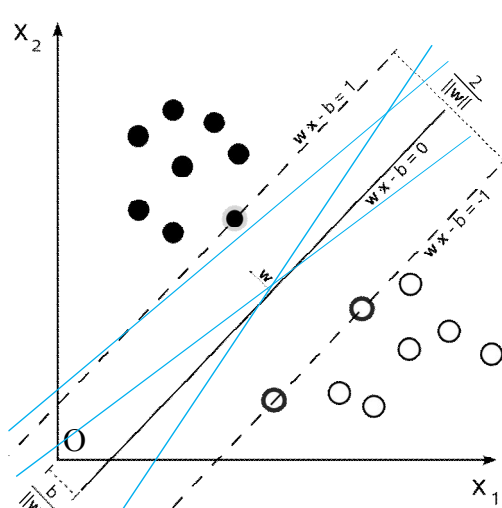
For all points holds:

- a) $w \cdot x_i - b \geq +1$ for $y_i = 1$
- b) $w \cdot x_i - b \leq -1$ for $y_i = -1$

In compact form:

$$y_i(w \cdot x_i - b) - 1 \geq 0 \quad \forall i$$

Many w and b can be chosen, only one pair minimizes the space between the line and the closest point (the margin).



A.A. 2016-2017

56/54

<http://borgheze.di.unimi.it/>



Support vector machines: the margin amplitude



For all points holds:

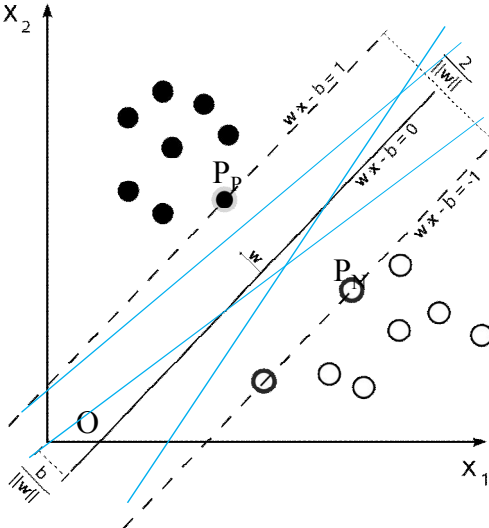
- a) $w \cdot x_i - b = +1$ for closest positive point, P_P .
- b) $w \cdot x_i - b = -1$ for closest negative point, P_N .

Distance between the line and P_P is: $\frac{1+b}{\|w\|}$

Distance between the line and P_N is: $\frac{1-b}{\|w\|}$

Total margin is: $\frac{2}{\|w\|}$

Come determinare w e b ?



A.A. 2016-2017

57/54

<http://borgheze.di.unimi.it/>



Support vector machines: computation of w and b



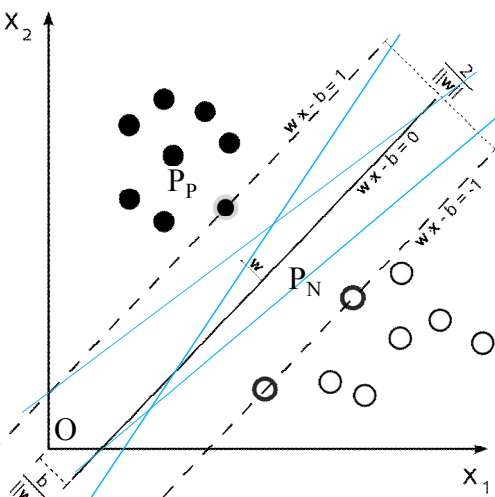
$$A) y_i(w \cdot x_i - b) - 1 \geq 0 \quad \forall i$$

$$B) \text{Total margin is: } \frac{2}{\|w\|}$$

Massimizzo $\|w\|$ (B, angular coefficient of the line) with the constraint that classification, A, is correct.

The solution will be a line equally distant from two parallel lines through P_P and P_N .

Problema di massimo vincolato che viene trasformato in un problema di minimo vincolato di $\|w\|^2$



A.A. 2016-2017

58/54

<http://borgheze.di.unimi.it/>



Support vector machines: Lagrange multipliers



Scrivo la funzione di Lagrange: $L(w, b) = \frac{1}{2} \|w\|^2 - \sum_i \alpha_i y_i (x_i \cdot w - b) + \sum_i \alpha_i$

Problema quadrattico convesso con 1 minimo

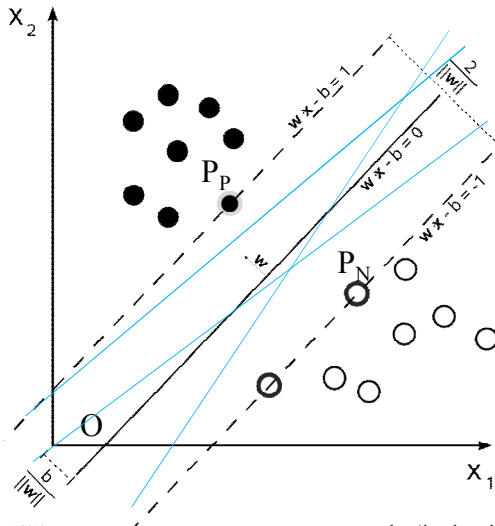
We have to compute:

$$\min_{w, b, \{\alpha_i\}} L(w, b)$$

with:

$$y_i(w \cdot x_i - b) - 1 \geq 0$$

$$\alpha_i \geq 0$$



A.A. 2016-2017

59/54

<http://borgheze.di.unimi.it/>



Condizioni KKT



Scrivo la funzione di Lagrange: $L(w, b) = \frac{1}{2} \|w\|^2 - \sum_i \alpha_i y_i (x_i \cdot w - b) + \sum_i \alpha_i$

We have to compute:

$$\min_{w, b, \{\alpha_i\}} L(w, b)$$

with:

$$y_i(w \cdot x_i - b) - 1 \geq 0$$

$$\alpha_i \geq 0$$

Karush-Kuhn-Tucker conditions applied:

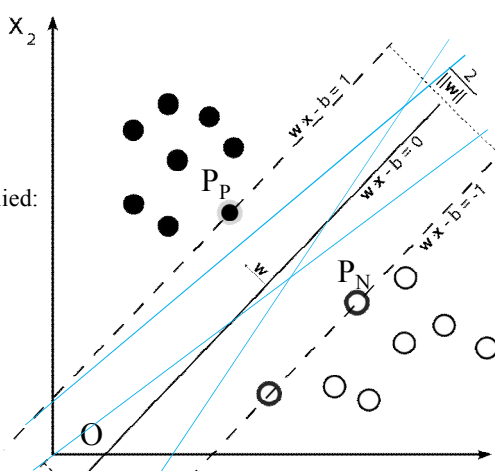
$$\frac{\partial L(\cdot)}{\partial w} = w - \sum_i \alpha_i y_i x_i = 0$$

$$\frac{\partial L(\cdot)}{\partial b} = -\sum_i \alpha_i y_i = 0$$

$$\alpha_i (y_i (x_i \cdot w + b) - 1) = 0$$

$$y_i (x_i \cdot w + b) - 1 \geq 0 \quad \forall i$$

$$\alpha_i \geq 0$$



KKT are necessary and sufficient conditions for convex problems => numerical optimization.

A.A. 2016-2017

60/54

<http://borgheze.di.unimi.it/>



Support vector machines: dual formulation



$$\min_{w,b,\{\alpha_i\}} L(w,b) \quad \text{with} \quad \alpha_i \geq 0$$

$$L(w,b) = \frac{1}{2} \|w\|^2 - \sum_i \alpha_i y_i (x_i \cdot w - b) + \sum_i \alpha_i$$

Problema quadratico convesso con 1 minimo:

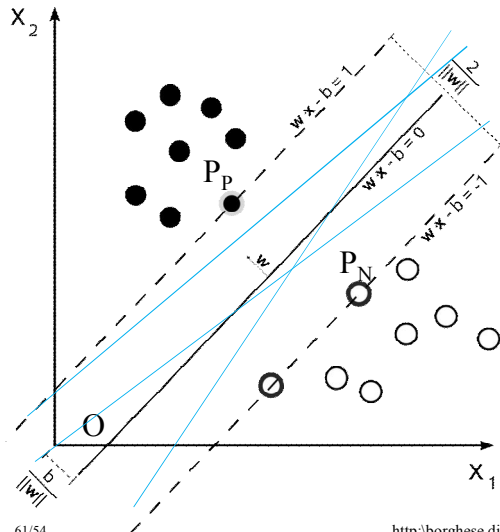
- Funzione obiettiva convessa
- I punti che soddisfano i vincoli costituiscono dei semipiani \rightarrow spazi convessi.

We solve the dual problem:

$$\max_{\{\alpha_i\}} L(w,b)$$

with constraints:

$$\begin{aligned} \frac{\partial L}{\partial w} &= 0 & \frac{\partial L}{\partial b} &= 0 \\ \alpha_i &\geq 0 \end{aligned}$$



A.A. 2016-2017

61/54

<http://borgheze.di.unimi.it/>



Dual formulation contains an inner product



$$\max_{\{\alpha_i\}} L(w,b)$$

$$L(w,b) = \frac{1}{2} \|w\|^2 - \sum_i \alpha_i y_i (x_i \cdot w - b) + \sum_i \alpha_i$$

$$\frac{\partial L}{\partial w} = 0 \quad \sum_i \alpha_i y_i x_i = w$$

$$\frac{\partial L}{\partial b} = 0 \quad \sum_i \alpha_i y_i = 0$$

Si possono sostituire nell'equazione del massimo, eliminando così i vincoli e rimanendo con la sola funzione da massimizzare:

$$\max_{\{\alpha_i\}} L(w,b)$$

$$L(w,b) = -\frac{1}{2} \sum_{i,j} \alpha_i y_i y_j x_i \cdot x_j + \sum_i \alpha_i$$

Only the inner product of the data appears here.

A.A. 2016-2017

62/54

<http://borgheze.di.unimi.it/>



Riassunto



- Supervised learning: predictive regression.
- Regressione multi-scala
- Classificazione